

原発の大事故時に於ける災害評価

—想定不適当事故—

July 18, 1980

T.Seo

§1 序 — 想定不適当事故とは何か

1-1 災害の分類

災害規模の面から { C1: 大規模災害をもたらす事故
C2: 大規模災害をもたらさない事故

確率の面から { P1: 起りうる事故
P2: 起ることは考えられない事故

安全審査における分類

{ 想定適当事故 { 重大事故(技術的に起り得る)
仮想事故(技術的に起り得ない) } いずれも大した被害なし
{ 想定不適当事故 (仮想事故を越える事故) } 大規模被害

例：全炉心溶融等、上記 C2 に対する事故

あらかじめして、C1 と P1
は混同して考えられ,
根拠を示さないまま

C2 C P2 とされ
ことから多い。

一基の発電用原
子炉がひずみ等の
事故の最大規模は、
以下2つのように巨大
なもので、過度のいか
なるアラートもこれに
匹敵しない。従っ
て原子力発電を推
進するには、このよう
な事故を「想定不
適当事故」と規定
しなければならなか
った。——伊方
裁判、内田証言
(引用1) 参照

本来不適当事
いうからには、確率が
非常に小さい等の

引用1、伊方裁判証言録

仲田 そうすると、想定できない事故とい
うのがあるんですか?

内田 あります。

仲田 想定不適当事故と呼ぶんですか?

内田 はい。立地評価に対して想定不適
当事故というのあります。

仲田 伊方の場合に想定不適当事故とい
うのはどういう風なものが考えられる訳ですか?

内田 ですから、立地評価の時に評価した
この重大事故、仮想事故がその想定に適切な
境界であります。

仲田 具体的な事象としてはね、その想定
不適当事故というの伊方の場合何が考えら
れたのですか?

内田 想定不適当事故というのは想定し
ない訳です。

(場内、失笑)

仲田 想定不適当事故というものを考える
場合に、当然、こんな事故があるけれども、
これは無視しようと、こういうことになる訳
ですね。具体的に頭に描いてから無視するん
じゃないんですか。

内田 ですから、それは審査指針にも報告
書にも書いてあります様に、各種事故とい
うのが幾つか書いてございましょう。その中で立
地評価の時に、仮想事故或いは重大事故に拡
大して想定するのに適切な事故として、最終

的に冷却材喪失事故、それから蒸気発生器細
管破断事故を想定する訳であります。ですか
ら、その前の段階として今申し上げました各
種事故が幾つも想定してございます。

仲田 なる程ね。例えば先程出て来た飛行
機の墜落事故とか、戦争の爆撃目標になると
か、そういうことは想定不適当事故ですか。

内田 やはり、飛行機がどの程度、墜落して
例えば格納容器に衝突するだろうかという、
その比較論的、確率論的評価を致します。そ
の結果、これは想定するに値しない位確率が
小さいということで、飛行機は格納容器によ
づかるということは事故の想定にはしない訳
です。

仲田 なる程、解りました。そうすると、
その点、不適当事故と考える場合には確率論
を持って来る訳ですね。

内田 要するに比較論であります。

仲田 比較論を持って来る訳ですね。

内田 そうです。

仲田 ではどの程度の比率で比較論を持っ
て来るのですか?

内田 それは私が書証の25等に書いてあ
ります様に、国際的に大体10のマイナス6
乗位を目標にして、或いはもう少し厳密に言
えば10のマイナス7乗よりも小さいとい
うことがはっきりする様なものは想定にしない
訳であります。

納得のいく根拠を示すな
ければならない。しかし、
日本は原子力規制当局は
この点で全く不可解な
態度をとっている。——

伊方裁判、内田証言 (ア用エ)

結局のところ、C2に相
当する事故を全部想定不
適当とし、この根拠を明示
していない。

ラスマッセンによる確率的
安全評価に期待がかけられ
たが失敗した。(前回セミ)

現在ところ「想定不適当」
という言葉は、原発を推進
する上で想定するに不適当
といふ以上の意味も根拠
ももち合せていない。

大規模災害をもたらす
事故として最も問題と見て
いるのは炉心溶融事故
である。以下に詳述する。

引用2、伊方裁判 言論記録

内田 ですからECCSの性能を無視して
ですね、無視した場合に、でも、あと全く手
をつけなければ軽心が溶けて、いわゆるラスマッセンスケティの形になるといいます。「そ
こで、立地評価の場合の事故の想定」というと
ごろについて、あり得る、ま、工学的にはあ
り得ないけれども、この辺までは事故の想定
として考えようという基準が、今、申し上げ
ましたように、仮想事故の想定を。

久米 私がきいているのは、この辺で止め
ておこうという、理由は何かということをき
いていているんです。

内田 ですからそれは前にも申し上げまし
たように、一つの目標として、10⁵年と
いうのはその設計基本事故の目標値です。これ
はまあ、国際的にも一応認められておりま
す。

「久米 はあ、わかりました。そう数をあげ
られると非常ににはっきりします。そうすると
全部の放射能が出てくるのはどれぐらいの確
率で、それから軽心まで溶けるというのはど
れぐらいだから、必要ないと考えられたんで
しょう。」

内田 生、審査会における立地評価の場
合には、そういうことは考えてないです。そ
ういう評価まではしておりません。

久米 それじゃ答弁にならないんじゃない
ですか。一方で私が言えば百万年に1回ぐら
い、そこまでは考えると、ですけどそしたら
放射能が全部出るのはいくらで、溶けるとい
う。

うのはそれ以下だから考えなかったと、こう
いうふうに言って頂かないとわからないじゃ
ないですか。

「内田 ですから審査会がそうで、具体的に
確率の計算をしてるということではあります
。ですからそれに参考になるのは、一番参
考になるのは、ラスマッセンスケティだと思います
。」

久米 そうすると100万年に1回とか1
千万年に1回とかいっておられるのは、それ
は、安全審査と関係ないことを言っておられ
るんですか。

内田 いや、関係ないというわけではありません。
一つの目標として考え方を整理する
意味で、10⁵ということを私が個人的に出し
てるわけです。それが、あの、「国際的にも一
応認められてるわけです。国際的なコンセン
サスを得てるわけです。

久米 じゃ、安全審査ではそういう基準も
なしにやっておられるわけですか。

内田 いや、立地審査指針の中にそういう
確率評価をしろというところまで入ってない
わけです。

久米 そうですね、じゃ不自然でしょ。さ
っさと答えるもよっしゃったように、それがどう
してそんなところで止められたんですか。どう
してそんな不自然な仮定をしなければならなか
ったんですか。それを

「内田 それは立地審査指針に書いてあります。
仮想事故の想定の考え方を引いてるわけ
ですよ。それから、国際的な考え方を反映
してるわけです。」

2. 炉心溶融はなぜ起きるか

熱源

○核分裂……炉停止後連鎖反応はなくなく。

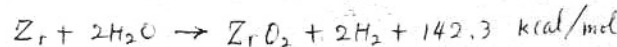
○蓄積熱……fuel 中心 2000°C 表面 340°C 年常運転時

冷却不能に陥った直後から中心の熱が表面にあふれせず。
燃料棒内の温度分布を、2次関数と1次関数の平均と
仮定すると、flatに陥った時の温度は

$$340 + \frac{5}{72} (2000 - 2k4) = 1032 (\text{°C})$$

この温度は Zr + 2H₂O の発熱反応が進行しやすくなる温度
である。blow down による熱除去がなければ、炉心
溶融はたちたちに始まることになる。

○化学反応……燃料棒被覆の材料であるZrは高温になると
激しく水と反応し、発熱する。



2.9.32

450~590 kg H₂
(2.3~3.0) × 10⁵ mole.

TMI-2 事故の場合

70気圧 50m³ の H₂ 発生 → 1.6 × 10⁵ mole が反応

よって 発熱量は 1.1 × 10⁷ kcal

こなたけの燃焼が比例して 10分間で 5.53 × 10⁶ kcal
78 MW の出力 rate に相当する。

1.04 × 10⁵ mole

-3-

○ 前壊熱 このは持続的である為最も重要

$$P/P_0 = 0.0766 t^{-0.181} \quad : 10 < t < 150 \text{ sec}$$

$$= 0.130 t^{-0.283} \quad : 150 < t < k \times 10^6 \text{ sec}$$

P₀ は full power 運転時の熱出力

100万 KWe (1000 MWe) の発電 3300 MW_t

停止後の経過時間	前壊熱出力
0	230 MW
10秒	167 MW
1分	120 MW
1時間	42 MW
1日	17 MW
1週間	10 MW
1月	7 MW
1年	2.3 MW

2.4.12.5.3 fuel 表面の温度上昇の計算

decay heat の最初の 1 分間の平均 $0.0442 P_0 = 146 \text{ MW}$

(最初の 10 秒間の平均 $0.06 P_0$, 10~60 sec の平均 $0.041 P_0$)

材料	比熱 (J/kg°C)	重さ (kg)	熱容量 (J/°C)
UO ₂	293	80000	
Zircaloy	293	16500	
steel	502	6500	3.14×10^7

よって fuel の平均温度上昇 (断熱近似)

$$\frac{1.46 \times 10^8}{3.14 \times 10^7} \left(\frac{\text{°C}}{\text{sec}} \right) = 4.64 \left(\frac{\text{°C}}{\text{sec}} \right)$$

中心部ではこの 2.5 倍とすると 12 °C/sec

§ 3. 炉心溶融に至る事象 PWR について (図 1 参照)

(1) 一次系配管大破断 (直径 15 cm 以上)

蓄圧注入系 3 管の内 2 台以上不作動 → core melt

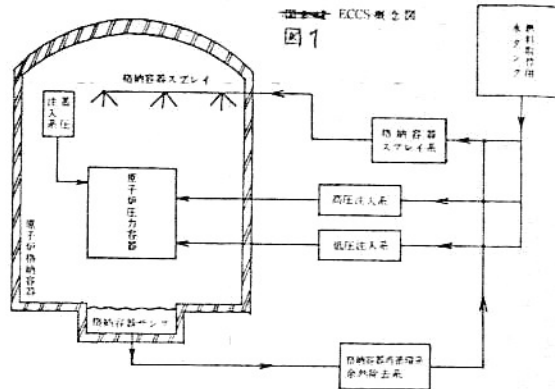
低圧注入系 2 台のポンプがすべて不作動 → core melt

(2) 一次系配管小破断

(直径 5~15 cm)

蓄圧注入系 3台の内 2台以上不作動 →
高压注入系 3台のポンプの内 2台以上
上不作動

core melt



(3) 一次系配管極小破断(直径5cm以下)

高压注入系 3台のポンプの内 2台以上

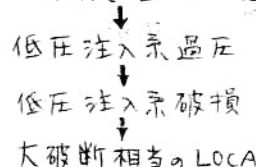
不作動 → core melt

(4) 圧力容器破損

あらゆる ECCS は無効 無条件に core melt

(5) 接続系での圧力バウンチ破損

例 一次系と ECCS の低圧注入系との間のバルブ破損



(6) その他、電源系統、バルブ系統の故障

例 1. 2次冷却材ポンプ停止 → core の除熱不能 → core 熱湯を過熱
→ 圧力逃げ弁から 1次冷却材漏出 → core melt
(極小破損 LOCA)
これは TMI-2 事故の発端となった。

例 2. テーブル火災 → あらゆる系のコントロール不能 → core melt
これは ブラウンズフェリーの事故の発端となった。

これら 2 例が実際に core melt に至ったのは後述するようにいくつかの幸運が重なった結果である。

§ 4. 炉心溶融の様子 (以下は Rev. Mod. Phys. 47 (1975) S1 1=53)

仮定として、大破損 LOCA, ECCS 故障, 格納容器スプレイ故障。

• LOCA 発生

blow down (5~10 sec) により core の熱量の $\frac{1}{3}$ が除去されたと仮定
する。 → fuel rod の表面温度 700°C

• decay heat の為 平均 4.6°C/sec , 中心で 12°C/sec の温度上昇。

• 33 sec 後 中心部の fuel rod 表面 1100°C に到達

$Zr + 2H_2O \rightarrow ZrO_2 + 2H_2$ の反応が激しくあり、温度上昇は急速激しく加速する。
(時間の2次関数的で温度上昇)

- およそ 1 分後、中心部の fuel nod 表面が Zircaloy の融点 (1850°C) に到達 溶け始める。
 - 10 分～1 時間 全 fuel 溶融 \rightarrow pressure vessel の底に落下
unknown を複雑な現象が考えられる
 - (1) 固溶体の形成の影響は？
 - (2) 溶融金属の滴下と再凝固の様態は？
 - (3) 化学反応による蒸気流の妨害効果は？
 - (4) その他モードも？
 - 30 分～2 時間 圧力容器底の溶融貫通
約 100 壓力溶融体が圧力容器の底面を溶融し貫通する。

蒸氣爆發の効果

10. 壓力衝激による格納容器破壊 (主に起らないと考えられていい)

20. 溶融体の飛散 →
格納容器壁に付着
→ 格納容器を部分溶融
→ 気密破壊

30. 溶融体の飛散 →
より多くの水と接触して
蒸気爆発が拡大
→ 格納容器内圧の上昇を止めよ。

- 格納容器スフレイ、冷却系故障の為、格納容器内の圧力上昇
格納容器の耐圧限度(設計圧は2~3 atm) 7 atm の圧力における飽和水蒸気(温度 ~ 160°C)の energy 密度

$$2.3 \times 10^6 \text{ cal/m}^3$$

格納容器の全容積 $\frac{4.9}{6.7} \times 10^4 m^3$

とすると 全 energy は

$$\frac{1.1 \times 10^{11}}{1.5 \times 10^8} \text{ cal}$$

七九三

一方 1次系の水がもつている全 Zr
decay heat (2.0% full power)
 Zr が全部水と反応したとする

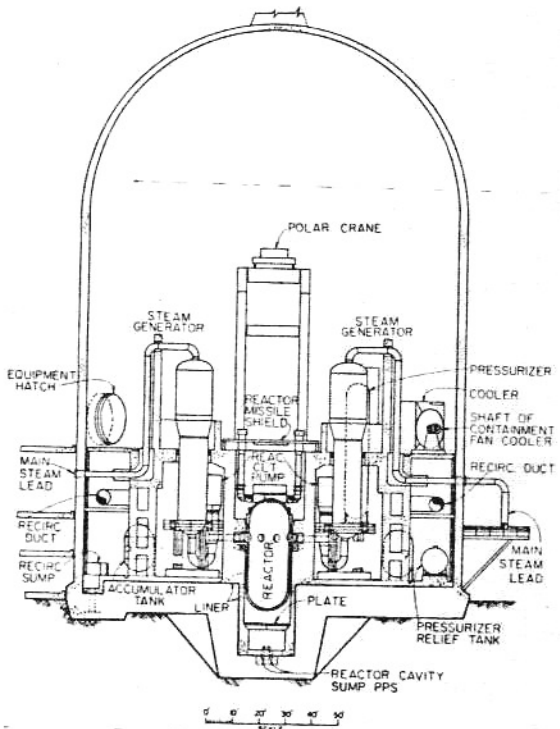


図 2 格納容器中の配置図

$$\sim 6.3 \times 10^{10} \text{ cal}$$

$$\frac{5.7}{7.1} \times 10^{10} \text{ cal/l}$$

$$2.6 \times 10^{10} \text{ cal}$$

発生した水素が全部燃焼したとする

$$1.2 \times 10^{10} \text{ cal}$$

よって decay heat がない場合でも 10^9 cal は達し、これは 格納容器に充満する 7 atm の飽和蒸気の energy $1.1 \times 10^9 \text{ cal}$ に近い。 → 効果的有格納容器冷却が行わなければ、短時間で 格納容器は破裂する。

○ 格納容器底部に落ちた溶融体の挙動

重さ 100 ~ 200 ton。

近くにあるすべての水を気化。

接触しているコンクリートを分解。分解物の方が溶融体より軽いので 分解生成物は溶融体上部にあつまり、溶融体はコンクリート床にわりこんでいく。

乾燥コンクリート 比重 2.32 ~ 2.48 (内 2% は水)

熱伝導度 $0.005 - 0.008 \text{ cal/sec cm}^{-2}\text{C}^{-1}$

比熱 $\approx 0.20 - 0.24 \text{ cal/g}^{\circ}\text{C}$

分解温度

500°C

コンクリート床の厚さを 1.5 m とすると、貫通するには 40 ~ 400 ton のコンクリートを分解する必要あり。

数時間 ~ 数日で 格納容器底貫通 (チャイナアシテント)

§ 5. 放射能放出量と被曝評価

5-1. Inventory

1000 MWe の発電炉が 550 日間 full 運転後の RI の inventory

($T_{1/2} > 1$ 時間のもののみ) 表 1

表 1.

Radioactive inventory at _____ of water reactor (from Draft WASH-1400, Appendix VI, pp. 6, 60).

Isotope	Half-life days (years)	Inventory (10^6 curies)	Isotope	Half-life days (years)	Inventory (10^6 curies)
Noble gases					
^{85}Kr	10.76 (yr)	0.6	^{95}Mo	2.8	160
^{86}Kr	0.18	26	^{99}Tc	0.25	140
^{87}Kr	0.053	52	^{103}Ru	40	100
^{88}Kr	0.116	76	^{105}Ru	0.18	58
^{133}Xe	5.3	170	^{106}Ru	1 (yr)	19
^{135}Xe	0.38	26	^{105}Rh	1.5	58
Iodines					
^{131}I	8.05	85	^{140}Ba	12.8	160
^{132}I	0.1	120	^{135}Sr	50.6	110
^{133}I	0.875	170	^{90}Sr	27.7 (yr)	5.2
^{134}I	0.036	200	^{89}Sr	0.4	130
^{135}I	0.28	150			
Telluriums					
^{123}Te	0.048	28	^{20}Y	2.7	5.2
$^{127}\text{Te}^*$	34.1	10	^{31}Y	59	140
$^{131}\text{Te}^*$	1.25	15	^{95}Zr	65.5	160
^{132}Te	3.25	120	^{97}Zr	0.7	160
Cesiums					
^{134}Cs	2 (yr)	1.7	^{95}Nb	3.5	160
^{136}Cs	12.9	6	^{140}La	1.66	160
^{137}Cs	30 (yr)	5.8	^{141}Ce	32.8	160
			^{143}Ce	1.37	150
			^{144}Ce	285	110
			^{145}Pr	13.6	150
			^{147}Nb	11	60
			^{147}Pm	2.65 (yr)	17
			^{149}Pm	2.2	40
			^{232}Pm	86.4 (yr)	0.1
			^{233}Pm	24 390 (yr)	0.01

5-2. 外部放出比

ラスムセン報告における
PWR-2 のカテゴリに属する事故
の場合の、格納容器外へ放出
される RI の比。表 2
PWR-2 type の事故は 84
で述べた事故である。

表 2 Fission product releases in Draft WASH-1400
reference accident (Appendix VI, p. 9).

Principal chemical groups	Fractional release to atmosphere from core
Noble gases	0.9
Iodines	0.7
Cesiums	0.5
Telluriums	0.3
Alkaline earths	0.06
Volatile oxides	0.02
Nonvolatile oxides	0.004

5-3. 大気拡散

空気中濃度に関するパスカルの式

$$\chi(x, y, z) = \frac{Q}{l} \frac{1}{2\pi\sigma_y\sigma_z} e^{-\frac{y^2}{2\sigma_y^2}} \times \left[e^{-\frac{(z-h)^2}{2\sigma_z^2}} + e^{-\frac{(z+h)^2}{2\sigma_z^2}} \right] \quad (\text{Ci/m}^3)$$

Q: decay, 沈着, 親核からの decay τ_2
による生成などを含む RI の量 (Ci)

σ_y, σ_z : 拡散巾 (m)

h: 放出高さ (m)

l: plume の長さ (m)

ここで放出 rate が一定とし, 放出継続時間 τ_{Tr} (sec), 風速 u (m/sec)
とすると

$$\frac{Q}{l} = \frac{Q}{u \tau_{\text{Tr}}}$$

次に χ の代りに τ_{Tr} の時間だけの積分濃度 $\bar{\chi}$ ($\text{Ci} \cdot \text{sec}/\text{m}^3$) を考えよう。

$$\bar{\chi}(x, y, z) = \tau_{\text{Tr}} \chi(x, y, z) = \frac{Q}{u} \frac{1}{2\pi\sigma_y\sigma_z} e^{-\frac{y^2}{2\sigma_y^2}} \left[e^{-\frac{(z-h)^2}{2\sigma_z^2}} + e^{-\frac{(z+h)^2}{2\sigma_z^2}} \right]$$

y 方向分布は gaussian で $\frac{1}{\sqrt{2\pi}\sigma_y} e^{-\frac{y^2}{2\sigma_y^2}}$ 分布なし。

$$\frac{1}{\sqrt{2\pi}\sigma_y} e^{-\frac{y^2}{2\sigma_y^2}} \rightarrow \begin{cases} \frac{1}{2\pi f_x} & : -\pi f_x \leq y \leq \pi f_x \\ 0 & : \text{その他} \end{cases}$$

とおもかく、地上濃度 (セグ-内) を示すと ($z=0$ のとき)

$$\bar{\chi}_z(x) = \frac{Q_i}{u} \frac{1}{\sqrt{2\pi}\sigma_z} \frac{1}{\pi f_x} e^{-\frac{x^2}{2\sigma_z^2}}$$

$$\Rightarrow \frac{Q_i}{u \{ A_c + \sqrt{2\pi} \pi f_x \sigma_z \exp [t^2/(2\sigma_z^2)] \}}$$

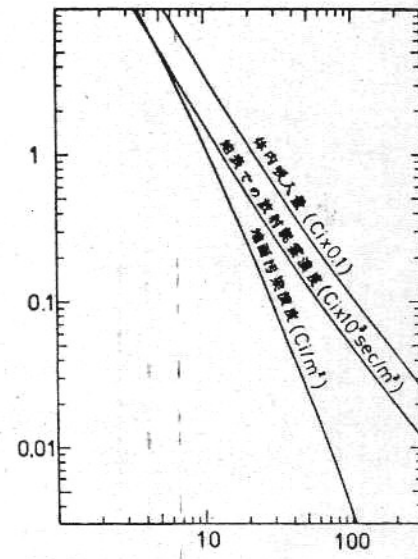


図 3

電気出力 560MW の PWR が PWR-2 型事故を起こした場合の放射能率濃度、地面汚染濃度、体内吸収量。但し風速は 1m/sec、放出高は 0m である。

ここに Ac H plant make (m^2) , これは各核種を specify す。

地面沈着は 沈着速度 v_i をもつものとす。

$$\text{地面濃度は } C_i(x) = v_i \bar{X}_i(x)$$

となる。ラスムセン(草案)では $v_i = 0 \text{ m/sec}$ (希ガス)

$\cdot 0.005 \text{ m/sec}$ (ヨウ素)

0.002 m/sec (他の元素)

RIの崩壊減衰、沈着、~~拡散~~を考慮す。

$$Q_i = Q_i^0 \exp \left\{ -\frac{\lambda}{u} x - \sqrt{\frac{2}{\pi}} \frac{v}{u} \int_0^x \sigma_2^{-1} \exp \left(-\frac{t^2}{2\sigma_2^2} \right) dt \right\}$$

と書け。 Q_i^0 は 放出時の量。

沈着

体内吸入量は \bar{X}_i に 呼吸速度 $b = 0.00022 \text{ m}^3/\text{sec}$ を用い。

$$Q_i^{INH} = b \bar{X}_i(x)$$

伊方炉($P = 560 \text{ MWe}$)について、大気密度 F型、 $u = 1 \text{ m/sec}$

$h=0 \text{ m}$ の場合の計算例を図3に示す。

5-4. 被曝線量の計算

Cloud shine (plume からの直接被曝)

$$D^C(x) = F(\sigma_2) \sum_i C_i^G \bar{X}_i(x)$$

濃度 $\bar{X}_i(x)$ の無限の空と仮定し、~~この補正を~~

$F(\sigma_2)$ で行なう。 C_i^G は dose conversion factor で表3に示す。被曝量は表4。

Ground shine (地面沈着と RIからの被曝)

$$D^G(x) = \sum_i C_i^G \bar{X}_i(x) v_i$$

濃度 $\bar{X}_i(x) v_i$ で無限の広さと仮定。

被曝高は地上 1m の高さ。 v_i は

地面沈着速度。 C_i^G は dose conversion

factor で表3に示す。被曝量は表4。

体内被曝

$$D^{W,L,TH,GI}(x) = b \sum_i C^{W,L,TH,GI} \bar{X}_i(x)$$

b は呼吸速度。 $C^{W,L,TH,GI}$ は表3に示す。

全身、肺、甲状腺、胃腸に対する dose

表3

Direct doses from the plume and from fallout.

Isotope	Half-life days (yr)	C_i^G (rem/sr)/ (curie/m ³)	Ground dose ^a (rem/sr)/ (curie/m ³)	Cloud dose ^a (rem/sr)/ (curie sec/m ³)
⁸⁵ Kr	10.760 (yr)	0
⁸⁵ Kr *	0.180	...	0.036	
⁸⁵ Kr	0.053	...	0.36	
⁸⁵ Kr	0.116	...	0.42	
⁸⁵ Sr	50.6	0.0	0	
⁸⁵ Sr	27.7 (yr)	0	0	
⁸⁵ Sr	0.4	26.4	0.16	
⁸⁵ Y	2.7	0.02	0.002	
⁸⁵ Y	59	0.02	0.002	
⁸⁵ Zr	65.5	20.0	0.19	
⁸⁵ Zr	0.7	23.8	0.06	
⁸⁵ Nb	3.5	20.4	0.18	
⁸⁵ Mo	2.8	7.2	0.06	
⁸⁵ Tc	0.25	4.0	0.035	
¹³³ Ru	40	14.4	0.11	
¹³³ Ru	0.18	18.0	0.20	
¹³³ Ru	1 (yr)	6.0	0.05	
¹³³ Rh	1.5	2.8	0.005	
¹³³ Te	0.048	3.0	0.018	
¹³³ Te	34.1	3.0	0.025	
¹³³ Te	1.25	33.6	0.375	
¹³³ Te	3.25	6.8	0.05	
¹³³ I	8.05	11.2	0.09	
¹³³ I	0.1	68.0	0.55	
¹³³ I	0.875	14.8	0.12	
¹³³ I	0.036	64.0	0.60	
¹³³ I	0.28	48.0	0.42	
¹³³ Xe	5.3	...	0.007	
¹³³ Xe	0.38	...	0.06	
¹³³ Cs	2 (yr)	48.0	0.36	
¹³³ Cs	12.9	60.0	0.46	
¹³³ Cs	30 (yr)	16.8	0.13	
¹³⁵ Ba	12.8	8.4	0.06	
¹³⁵ La	1.66	60.0	0.52	
¹³⁵ Ce	32.8	2.2	0.016	
¹³⁵ Ce	1.37	8.8	0.085	
¹³⁵ Ce	285	1.2	0.004	
¹³⁵ Pr	13.6	0.0	0	
¹³⁵ Nd	11	4.0	0.045	
¹³⁵ Pm	2.65 (yr)	0.0	0	
¹³⁵ Pm	2.2	0.1	0.012	
¹³⁵ Pu	86.4 (yr)	0.004	0	
¹³⁵ Pu	24.390 (yr)	0.004	0	

^a At a level of 1 m above a smooth plane. We are informed that the coefficients used in Draft WASH-1400 are low by a factor of 2 (NCR, 1975). Our values for the dose include this correction.

BR?

conversion factor → 表 5, 暴露量の計算結果 → 表 6

表 4

B. External gamma doses

Isotope	Cloud dose	Ground dose		Isotope	Cloud dose	Ground dose	
		(1 day)	Total			(1 day)	(Total)
¹³¹ I	0.025	0.35	4.24	¹⁴⁸ La	0.001	0.006	0.02
¹³² I	0.009	0.02	0.02	¹⁴¹ Ce	0.000	0.000	0.02
¹³³ I	0.033	0.332	0.60	¹⁴² Ce	0.000	0.000	0.00
¹³⁴ I	0.002	0.002	0.00	¹⁴⁴ Ce	0.000	0.000	0.06
¹³⁵ I	0.036	0.184	0.10	¹⁴³ Pr	0.000	0.000	0.00
⁸⁵ Kr *	0.000	¹⁴⁷ Nd	0.000	0.000	0.00
⁸⁷ Kr	0.004	¹⁴⁵ Pm	0.000	0.000	0.00
⁸⁹ Kr	0.013	²³⁸ Pu	0.000	0.000	0.00
¹³³ Xe	0.025	²³⁹ Pu	0.000	0.000	0.00
¹³⁵ Xe	0.002				
¹³³ Te	0.000	0.000	0.00				
¹³⁷ Te	0.000	0.002	0.14				
¹³¹ Te *	0.006	0.020	0.04				
¹³² Te	0.009	0.054	0.28				
¹³⁴ Cs	0.002	0.014	15.0 ^b				
¹³⁶ Cs	0.009	0.052	1.0				
¹³⁷ Cs	0.003	0.016	60 ^b				
⁹⁰ Mo	0.001	0.004	0.02				
⁹³ Te *	0.000	0.000	0.00				
¹⁰³ Ru	0.001	0.003	0.52				
¹⁰⁵ Ru	0.000	0.000	0.00				
¹⁰⁶ Ru	0.000	0.000	0.38				
¹⁰⁷ Ru	0.000	0.000	0.00				
¹⁴⁰ Ba	0.004	0.024	0.44				
⁸⁵ Sr	0.000	0.000	0.00				
⁸⁷ Sr	0.000	0.000	0.00				
⁹⁰ Sr	0.002	0.006	0.01				
⁹⁸ Y	0.000	0.000	0.00				
⁹⁹ Y	0.000	0.000	0.00				
⁹² Zr	0.001	0.004	0.38				
⁹³ Zr	0.000	0.002	0.00				
⁹⁵ Nb	0.001	0.002	0.02				

* But see (NRC, 1975b).

^b The ¹³⁷Cs dose is calculated with an attrition as represented for ¹³⁷Cs by Eq. AII-23 and with that initial dose rate per microcurie/m² for ¹³³Ce. ¹³⁴Cs dose uses the same attrition (accelerated by the 2-year half-life) but the initial dose rate is taken as 0.36 rad/yr. per microcurie/m², in view of the total 1.58 MeV gamma ray energy vs. the 0.66 MeV gamma ray for ¹³⁷Cs.

表 5 A

Doses due to inhalation of a radioactive aerosol (in rem/m curie). {From Draft WASH-1400, Appendix VI, p. 57 (except for the 50-year lung doses).}

Isotope	Half-life days (yr)	Whole-body dose		Lung dose 30-d (50-yr)	GI tract 50-yr
		50-yr (30-d)	50-yr (30-d)		
⁸⁵ Sr	50.6	11.5	78 (176)	45	
⁸⁷ Sr	27.7 (yr)	222 (1.6)	188 (117.0)	36	
⁹⁰ Sr	0.4	0.352	5.5	24	
⁹⁸ Y	2.7	0.6	21	71	
⁹⁹ Y	59	9 (2.6)	86 (210)	43	
⁹² Zr	65.5	15.8 (4.9)	77 (199)	22	
⁹³ Zr	0.7	0.39	10	71	
⁹⁵ Nb	3.5	4.47 (2.00)	34	11	
⁹⁶ Mo	2.8	0.661	12	30	
⁹⁸ Tc	0.25	0.0084	0.081	0.45	
¹⁰² Ru	40	0.771	37 (74)	22	
¹⁰³ Ru	0.18	0.0644	1.6	11	
¹⁰⁵ Ru	1 (yr)	2.85	234 (1140)	107	
¹⁰⁶ Ru	1.5	0.0975	2.6	11	
¹²³ Te	0.048	0.02	0.34	2.1	
¹²⁵ Te	34.1	4.4	107 (197)	55	
¹²⁷ Te	1.25	0.732	11	36	
¹²⁸ Te	3.25	1.96	31	55	
¹³¹ I	8.05	2.6 (2.4)	21	1.1	
¹³² I	0.1	0.13	0.9	2.4	
¹³³ I	0.875	0.57	5.1	2.2	
¹³⁴ I	0.036	0.04	0.36	2.2	
¹³⁵ I	0.28	0.29	2	2.1	
¹³⁴ Cs	2 (yr)	56 (15)	50	2.1	
¹³⁵ Cs	12.9	5.5	15	1.1	
¹³⁷ Cs	30 (yr)	32 (8.2)	35	1.1	
¹⁴⁰ Ba	12.9	7.2	122 (146)	55	
¹⁴⁰ La	1.66	0.835	17	55	
¹⁴¹ Ce	32.8	1.65 (0.81)	23 (41.5)	11	
¹⁴² Ce	1.37	0.337	10	30	
¹⁴⁴ Ce	285	65 (6.6)	216 (990)	110	
¹⁴³ Pr	13.6	1.13	29 (35.5)	24	
¹⁴¹ Nd	11	1.16	24 (27.2)	22	
¹⁴⁷ Pm	2.65 (yr)	6.94 (0.36)	12 (67)	5.5	
¹⁴⁸ Pm	2.2	0.311	8.7	26	
²³⁸ Pu	86.4 (yr)	144 000 (304)	10 000 (175 000)	43	
²³⁹ Pu	24 390 (yr)	159 000 (283)	9600 (171 000)	43	

^a Draft.

表 5 B

Thyroid inhalation doses averaged over age groups (from EPA, 1973).

Age group (Percentage of population)	Fraction of inhaled iodine reaching thyroid	Biological half-life for iodine (days)	Thyroid mass (grams)	Effective decay energy (MeV)	Dose conversion factors (rem/m curies inhaled)	Breathing rate (cc/sec)	
				^{131}I	^{131}I	^{131}I	^{131}I
0-1 year (1.79)	0.38	20	1.9	0.18	0.40	15 000 (4800	4800 (35) ^a
1-9 years (16.47)	0.38	29	2.7	0.18	0.40	12 000 (6500	3400 (1000) ^a
10-19 years (19.57)	0.28	70	12	0.19	0.42	2400 (1700	600 (420) ^a
20 years (62.17)	0.23	100	20	0.19	0.42	1200 (1500	300 (370) ^a
							200 (155) ^a

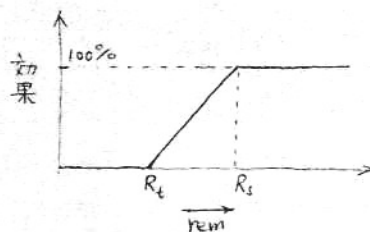
^a Values used in Draft WASH-1400.

表4と表6の計算における仮定

Wind speed (w)	3.5 m/sec
Inversion height (H)	1100 m
Plume angular width (θ)	0.25 radians
Deposition velocities (w_d)	cm/sec
Iodines	0.5
Noble gases	0.0
Other isotopes	0.2
Uniform population density	300 mi ⁻²
Cutoff on radial integrals	500 miles
Shielding factor for ground and cloud dose	$\frac{1}{2}$
Time between shut down of fission and release	2.5 hours ^a

5-5. 被曝の影響と死者、発病数

単純に次のようす関数で表す。



ラスムセン報告(草案)で

○ 死亡(早期)

	R_t (rem)	R_s (rem)
全身被曝	200	600
肺	3000	5000
胃腸	2000	3000

○ 発病(早期)

	R_t (rem)	R_s (rem)
全身被曝	100	200
甲状腺(子孫)	0	3000

となって113。

表 6

A. Population doses from Inhalation
(10^6 man-rem)

Isotope	50y			Thyroid (age)	
	whole-body	30d lung	50y lung	GI tract	(0-9) (10)
^{131}I	0.487	3.94	3.94	0.21	187 218
^{132}I	0.002	0.01	0.01	0.03	
^{133}I	0.107	0.95	0.95	0.41	57 59
^{134}I	0.000	0.00	0.00	0.04	
^{135}I	0.017	0.12	0.12	0.13	
^{136}Te	0.000	0.00	0.00	0.00	
^{137}Te ^a	0.059	1.44	2.62	0.74	
^{138}Te ^a	0.008	0.12	0.12	0.39	
^{139}Te	0.247	3.90	3.91	6.93	
^{134}Cs	0.217	0.20	0.20	0.01	
^{136}Cs	0.071	0.19	0.19	0.01	
^{137}Cs	0.426	0.47	0.48	0.01	
^{90}Mo	0.007	0.13	0.13	0.32	
^{99}Tc	0.000	0.00	0.00	0.0	
^{102}Ru	0.007	0.33	0.66	0.20	
^{103}Ru	0.000	0.00	0.00	0.00	
^{104}Ru	0.005	0.41	1.95	0.19	
^{105}Ru	0.000	0.01	0.01	0.03	
^{106}Ru	0.296	5.01	5.97	2.26	
^{88}Sr	0.343	2.32	5.19	1.34	
^{89}Sr	0.318	0.27	1.59	0.05	
^{90}Sr	0.003	0.04	0.04	0.17	
^{91}Y	0.000	0.00	0.00	0.00	
^{92}Y	0.023	0.21	0.53	0.11	
^{93}Zr	0.046	0.22	0.58	0.06	
^{94}Zr	0.000	0.01	0.01	0.07	
^{95}Nb	0.010	0.08	0.08	0.03	
^{140}La	0.001	0.03	0.03	0.10	
^{141}Ce	0.005	0.07	0.12	0.03	
^{142}Ce	0.001	0.02	0.02	0.05	
^{143}Ce	0.131	0.44	1.97	0.22	
^{144}Pr	0.003	0.07	0.09	0.06	
^{145}Nd	0.001	0.02	0.03	0.02	
^{147}Pm	0.002	0.00	0.02	0.00	
^{148}Pm	0.000	0.00	0.00	0.01	
^{239}Pu	0.265	0.02	0.32	0.00	
^{240}Pu	0.029	0.00	0.03	0.00	
Total	3.14	21.1	31.9	14.2	244 277

晩発性、がん、遺伝障害について

ラスムセン(草案)

 10^6 man-rem で 3 年で 100 件の
がん、遺伝障害発生を仮定。

APS (米国物理学会) の仮定は

表 7, ~~表 7~~ に示す。種々の批判のまとめは引用 3 に
示す。

表 7

Some man-rem dose-effect coefficients for delayed effects (per million person rem).

A. Whole body effects	
About 130 25-260	Cancer deaths
12.5 0-500	Persons with identifiable dominant genetic defects over an average of five generations following exposure
42	Noninheritable congenital defects
0.6-1.6	Total extra constitutionally or degeneratively diseased persons over an average of ten generations following exposure
	Spontaneous abortions
B. Lung dose effects	
0.6-1.6	Cancer deaths per year for the period 5 to at least 27 years following exposure
C. Thyroid dose effects	
Children under 10 0.5*-3.0	Cancer cases per year from 5 years till at least 30 years following exposure. (times about 0.04 for mortality during this period)
11*-52	Cases of thyroid nodules per year from 5 years till at least 30 years following exposure
Adults (persons over 10) 0.5*-3.0	Cancer cases per year from 5 years till at least 25 years following exposure. (times about 0.15 for mortality)

* (The lower value would hold if ^{131}I were rem-for-rem 0.3 times as effective in producing thyroid cancer than x rays.)

5-6. 伊方の場合の計算例

伊方1号炉は 560 MWe の出力

結果は

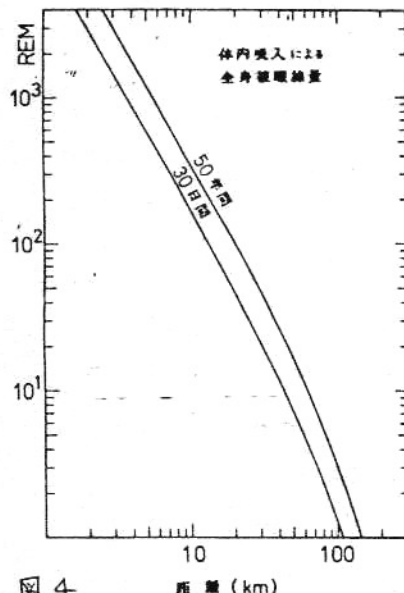


図 4

体内吸入による全身被曝線量。事故の条件、気象条件は図 3-2と同じ。

引用 3

B. 遺伝性傷害の評価について

(1) ガン： ガン発生数 100 件／百万人 rem という値は ICRP 委員会の報告から採用したところになっているが、これは ICRP によると $\frac{1}{2}$ の過少評価となる。これに対し APCS では 130 件／百万人 rem を採用している。これに更に地面からの被曝時間 1 日という割合を除くと驚くほどガン発生数が増え、もとの 510 人から一気に 10000 人となる。又「基準」では熱核爆による肺ガン発生を無視しているが、APCS の評価によると (20~50 / 百万 rem) を採用すれば 600~1600 人のガン発生が追加されることになる。更に Pu の被曝換算係数を、ホットパーティクルの特徴性を考慮して 10~100 倍大きく見つめばこの肺ガン発生数は 10 倍近くまで増加する可能性がある (UCS)。その上「基準」で考慮していない甲状腺ガンを考慮すると新たに 500~4000 人のガン発生が追加されることになる (APCS)。

(2) 甲状腺癌： UCS によれば子供に対する飽和被曝量は 1000 ラドを用いるべきであるのに「基準」では 3000 rem を用いることにより、発病数を 1/4 に過少評価している。APCS ではこれに対して不確定要素をそのまま表現して発病数 22500~300000 としている。

(3) 遺伝的傷害： UCS によれば「基準」の用いている 100 遺伝傷害／百万人 rem は不当で、これは 2 倍にすべきであるといわれている。APCS では百万人 (全員) rem 当りの世代にわたる傷害が 2.5~250。一代限りのもの 12.5、10 世代にわたるもの 0~500、流産 42 を考慮し、更に上述の始発からの被曝時間延長により、遺伝的傷害数を「基準」より 3000~20000 件多くはじき出している。

RSB (最終報告) では上記の批判を受けて大幅な変更がなされた。その詳細はのちの機会にゆずることとして概要を述べると

- (1) 全身被曝の代りに骨盤被曝の観念を用いている。被曝計算のうち地表面からの被曝はも又は 7 時間に短縮された。60 日以内に 50 死亡のような被曝 LD_{50/60} = 510 ラドとしている。
- (2) 肺の被曝による死亡について LD_{50/60} = 19000 ラドを用いている。
- (3) 胎盤の被曝について、母細胞は胚器内壁に付着している胎盤のみを考慮し、母細胞は 1/100 の減小効果を考慮している。
- (4) 地面からの被曝についてはやはりしゃへい効果を考慮し、長期被曝についても改善はみられない。
- (5) 熱核爆による肺ガン発生は考慮されたが百万人 rem について 2.2.2 名という低い値を用いている。又ホットパーティクルとしての考慮はない。

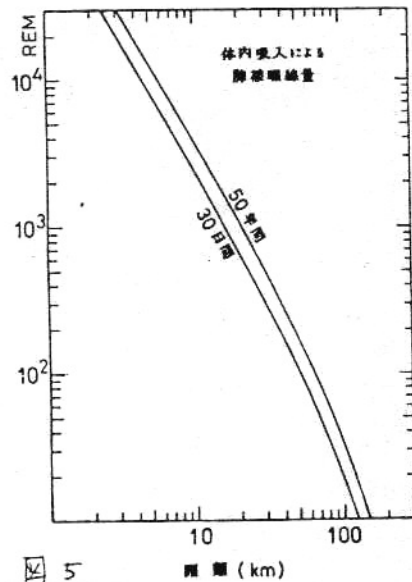


図 5

体内吸入による肺被曝線量。事故の条件、気象条件は図 3-2と同じ。

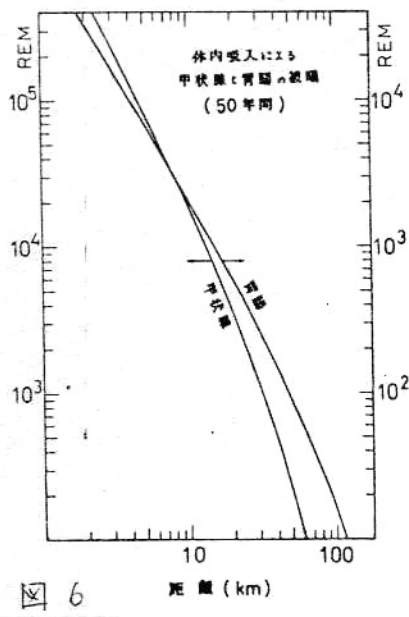


図 6 距離 (km)

体内吸収による甲状腺と腎臓の被曝線量。事故の条件、気象条件は図3-2と同じ。

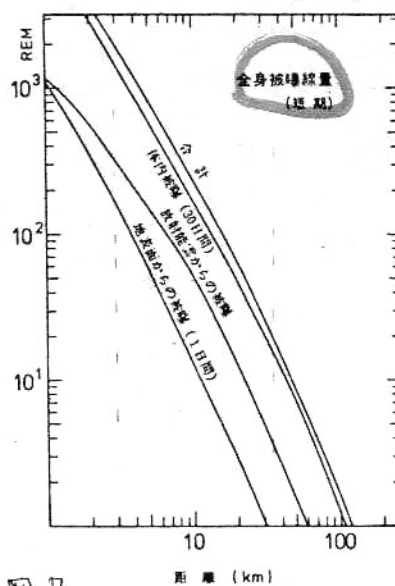


図 7 距離 (km)

全身被曝線量の内訳と合計。事故の条件、気象条件は図3-2と同じ。

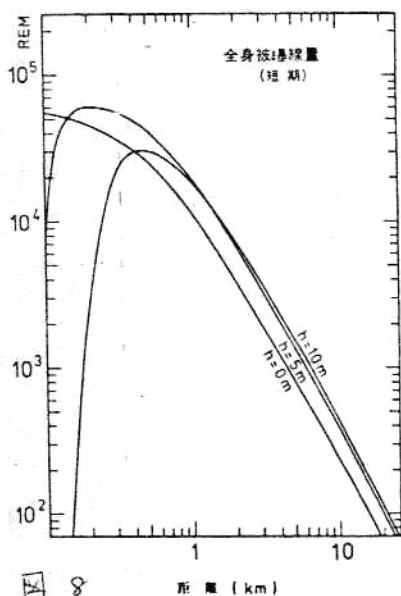


図 8 距離 (km)

放出高が 0.5, 1, 10 m の三つの場合の全身被曝線量の比較。事故の条件、気象条件は図3-2と同じ。

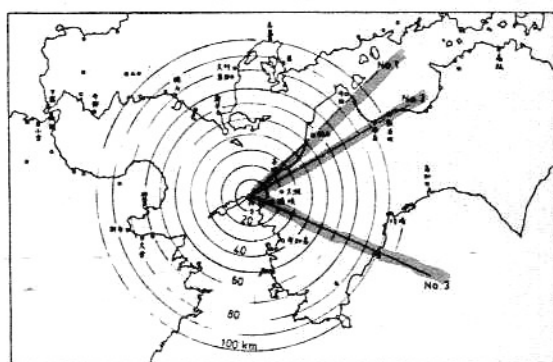


図 9 伊方を中心とする四国、中国、九州地方、及び被曝算定を行った三つの線。

上記の図の 3 直線に対して被害規模を計算したのが 次ページ 表 8

表 8

被害規模の計算結果

人口分布*	早期死者(人)***			公衆総量(百万人レム)***			ガン、遺伝傷害数(件)****		
	$k = 0 \text{ m}$	$k = 5 \text{ m}$	$k = 10 \text{ m}$	$k = 0 \text{ m}$	$k = 5 \text{ m}$	$k = 10 \text{ m}$	$k = 0 \text{ m}$	$k = 5 \text{ m}$	$k = 10 \text{ m}$
1	1431 (1919)	2296 (2971)	2511 (3204)	4.04	5.34	6.76	4.04	5.34	5.76
2	1431 (2013)	2388 (3097)	2665 (3440)	2.44	3.00	3.16	2.44	3.00	3.16
3	1962 (2923)	3481 (4464)	3966 (4883)	2.84	3.24	3.30	2.84	3.24	3.30

* : 人口分布 No.1: 長浜町をかすめ、松山市、今治市の中心部を通る線上

No.2: 大洲市をかすめ、西条市を通る線上

No.3: 八幡浜市の中心を通るもの

** : () 内の数値は、スウェーデン政府に対する報告書 (SOU) に用いられている被曝効果を採用したものである。この被曝効果は、全身被曝 100~300 レムで 20%、300~1000 レムで 80%、1000 レム以上で 100% の死亡率を仮定している。

*** : 四国内に限った計算値。実際の計算では 30 日間の全身被曝量を用いたのでこれを 50 年間にわたる、約 2 倍した。又、長期の地面からの被曝を考慮すると、この値は大幅に増加する (本文 3 節参照)。

**** : 百万レムにつき、ガン、遺伝傷害が各 100 件という割合で計算した。それぞれは同じ数値になるので、数字は 1 つだけ示してある (ガンと遺伝傷害の合計ではない)。尚、これには肺ガン、甲状腺ガンが含まれていない。

§ 6. 国の安全審査の実態 ——「想定適当事故」とは

安全審査において立地の適切さを判断する為に重大事故と仮想事故と想定することになっている。→ 引用 4

安全評価に関する審査指針は → 引用 5
この解説 → 引用 6

引用 4: 原子炉立地審査指針

1-2 基本的目標

万一の事故時にも、公衆の安全を確保し、かつ原子力開発の健全な発展をはかることを方針として、この指針によつて達成しようとする基本的目標は次の 3 つである。

a 敷地周辺の事象、原子炉の特性、安全防護施設等を考慮し、該施設周辺からみて、最悪の場合には起らざるかもしれないと思われる重大な事故 (以下「重大事故」という) の発生を仮定しても、周辺の公衆に放射線障害を与えないこと。

b さらに、重複防護があるような技術的見地からみて起らざる事象を考慮しない事故 (以下「仮想事故」という)。(例えば、重大事故を假定する際には効果を抑制した安全防護施設のうちのいくつかが動作しないと想定し、それに相当する放射性物質の放出を仮想するもの) の発生を仮定しても、周辺の公衆に著しい放射線障害を与えないこと。

c なお、仮想事故の場合には、国民遭難線量に対する影響が十分に小さいこと。

引用 6: 左の解説

5 重大事故及び仮想事故の想定について

重大事故及び、仮想事故を想定する目的は、対象となる原子炉と、周辺の公衆との離隔が過正に確保されていることを示すことである。最小限度必要とされる離隔距離は、当該原子炉の基本的構造、出力その他の特性、並びに安全系を含む様々な安全上の対策等によって変化すべきものである。従って、重大、仮想事故の選定に当たっては、この趣旨が適切に考慮される必要がある。

たとえば、仮想事故の選定に当って、炉心の核分裂生成物の多重防壁のすべてが、無条件に機能しないと仮定すると、離隔距離は半径上原子炉が出力のみで定まってしまうことになり、その他の重要な因子は無視されることになる。このような仮定は、最小限度必要とされる離隔距離を判断すると言う見地からは、過切とは言い難く、従って立地者査査指針が必須な仮定として求めているものではない。

以上の見地から、現在の軽水型炉に関しては、その構造、特性並びに安全上の諸対策を考慮して、放射性物質の放出の最大の可能性のある事故の様相として、格納容器内放出と格納容器外放出の二種類を考え、それについて、3.1.2 の解析結果を参考して、周辺公衆との離隔を評価する観点から技術的に見て合理的に最大と考えられる放射性物質の放出量を想定することをもって重大事故とする。さらに重大事故としてとりあげられた事故について、これを越える放射性物質の放出を工学的な観点から仮想することをもって仮想事故とする。

引用 5: 施設の安全評価に関する審査指針

3.2 重大事故及び仮想事故

3.2.1 重大事故

前記 2.2 に基づき、上記 3.1.2 の解析結果を参考してそれらの事故の中から既存物質の放出の量から可燃性のある事故をとり上げ、技術的に最大と考慮される放射性物質の放出量を想定することとし、格納容器内放出に係る事故及び格納容器外放出に係る事故をそれぞれ想定する。

3.2.2 仮想事故

前記 2.2 に基づき、重大事故としてとりあげられた事故について、より多くの放射性物質の放出量を假定した事例を想定する。

この引用4,5,6に従うと、重大事故と仮想事故のちがいは外に出るRIの量のちがいだけであって、何ら安全防護設備の働きにちがいはない。これは、引用4(玄地審査指針)「重大事故を想定する場際には効果と期待した安全防護施設のうちのいくつかが動作しないと仮想し…」(仮想事故)にある仮想事故の定義にも明白に違反している。—— これには歴史的な事情がある。

→ 仮想事故の恣意性か明瞭

大した被害が出ない程度に RI 発出量を抑えていただけ、この科学的根拠があるわけではなし。→ 本来の意味での「仮想事故」

一方ラスムセンの確率的安全評価に期待符がかけられたが失敗した。
(政治的利用という面では十分な成功をおさめた)

§ 7. 「想定不適当事故」すれすれの事象

7-1. ブラウンズフェリ火災事故 (BWR)

1975/3/22

12:20 集中ケーブル室で火災発生
12:35 中央制御室に火災発生通報
12:40 様々な警報、互に矛盾
12:51 再循環ポンプ停止。原子炉運転不能。1号機手動でスクラム。
13:00 2号機スクラム。1号炉の全ECCS操作不能(ケーブル焼損の為)。
主蒸気隔離弁閉じてしまう。隔離時の冷却系がず(水源故障の為)。
-----絶体絶命-----

この危機を救ったのは、制御棒駆動ポンプが稼働してしまったことである
(これがなければ炉心溶融開始時間まで引寄せられただけ)。

蒸気逃し弁が開けられたり、開いて圧を下げ、復水ブースタポンプが
動作する。

18:00 ケーブル火災が拡大し、逃げ弁操作不能(閉じた)となる。

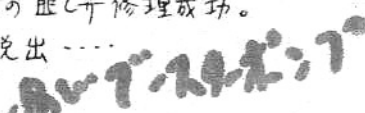
圧が上り、ブースタポンプがまわらなくなってしまった。

19:00 主蒸気ライン・ドレンハーベル修理成功。蒸気放出が可能になつた。
→ 圧が下がる。

21:30 故障中の4個の逃げ弁修理成功。

-----危機脱出-----

幸運



1. 制御棒駆動ポンプが破局を免れた唯一の装置であったが、これが
生き残っていたのは、たまたま火災の場所とは別のところに回路があ
ったので、このような事故に備えての配慮の結果ではない。

2. 蒸気逃し弁 11 個の内 4 個が 13:00 に開けてくれたこと。実際
火災の拡大で 18:00 には全部ためになつてしまつた。もし 13:00 の時点で
逃げ弁が全部閉まつたら、圧が下がらなかつたら破局は必至であつた。

7-2. TMI-2 事故

1979/3/28

4:00 2次系弁とい3。2次系完全 stop。+1次系圧力急上昇。
1次系圧力逃し弁開(開きはなし)→極小破断LOCA。

4:02 ECCS 作動

4:08 2次系補助給水バルブ開く。

5:15 1次系主ポンプ_Bキャビテーション激しい為止め。

5:40 " " A " " "

~7:00 燃料露出、Zr + 2H₂O 反応開始?

くわしくは表9参照

表9 事故経過と各機器の状態

時間	事象	各種機器の状態				注釈
3/28 午前4時	主給水停止。タービントリップ					
3~12秒後	逃し弁自動的に開く	逃し弁開				空気供給弁への空気供給系統による其倒れ放開
9~12秒後	圧力高により原子炉停止	159				逃し弁開設定圧 159 kg/cm ²
12~15秒後	圧力下がるが逃し弁閉じず	166				原子炉スクラム設定圧 166 kg/cm ²
15秒後	圧力下がるが逃し弁閉じず	151	322			逃し弁閉設定圧 155 kg/cm ²
30秒後	補助ポンプ作動しているが給水されず					
1分後	加圧器水位計急上升始める					
2分後	ECCS 自動的に作動					2回間前の保守点検以来バルブが閉じたままであつたらしく
4分後	加圧器水位計報切られ					が心臓での蒸気発生やジルカロイ-2水反応始まる
4分30秒後	高圧注入系1系統手動で停止					作動設定圧 112.5 kg/cm ² 、高圧注入系2系統注水
6分後	一次冷却水出口で飽和状態					加圧器水位計から判断、加圧器水位計は原子炉内水位を反映せず
7分30秒後	格納容器サンプルポンプ自動的に作動					補助堆積タンクへ排水
8分後	補助給水系バルブ開く					制御室からの手動操作
10分30秒後	残りの高圧注入系も手動で停止					加圧器水位計から判断
~11分後	加圧器水位計戻る					
11~12分後	高圧注入系手動で再開					
15分後	逃しタンクのラブチャーディスク破れる					逃し弁からの一次冷却水格納容器内に放出
20~60秒後	一次系飽和状態で安定					キャビテーションによるポンプ破損を防ぐため
~1時間50分後	一次系ループBのポンプ停止					キャビテーションによるポンプ破損を防ぐため、自然循環による冷却不能
~1時間50分後	圧力低下	71	288			制御室からの手動操作
1時間50分後	一次系ループAのポンプ停止	49				
~2時間後	出口温度上昇、温度計報切れ	(65)				
~2.3時間後	SG(B)でのリーク観測、漏難	49				
2.3時間後	逃し弁閉じる	148				
~3時間後	圧力上昇					
~3時間後	逃し弁開く					
3時間後	逃しタンク内に 0.35 kg/cm ² の圧力					
3時間30分後	発電所非常事態宣言					
3時間45分後	逃しタンク内に 0.8 kg/cm ² の圧力					
5時間後	格納容器内圧 ~0.2 kg/cm ² の上昇	123	370			
5時間後	格納容器圧縮	88				
~6時間後	内圧力上昇	148				
7時間30分後	逃し弁閉じる					
~9時間後	圧力低下	35				
10時間後	格納容器内 2 kg/cm ² の圧力スパイク、格納容器スプレイ作動					余熱除去系を動作させるための試み
13時間30分後	逃し弁開く、ループAのポンプ作動再開	48	(65)			小規模水没発生、格納容器破損の危機
~16時間後	圧力上昇 SG(A)蒸気発生始まる	162	293			ボンブの被損・強制的な冷却かの落け
~3月29日	一次冷却水圧力低下	(204)				SG 除熱機能の回復
3月30日	化学・体積制御系より放射能取出	70	138			3/28 25 km先で放射能検出、ヘリスバード空港(3.2 km)、12 ミリレム/時検出
	圧力容器内気泡によるメルトダクションの可能性					付近住宅地 7 ミリレム/時検出
	初期非常事態宣言(8 km以内の学校避難命令、妊婦・幼児の避難勧告 10 km 以内の市民居住者勧告)行なう旨の自主的避難知らせる。					3/30 白子市住民上空(180 m) 200 ミリレム/時検出
4月1日	圧力容器内ガス抜き作業続ければれる CARTER 大観測視地視察	70	138			発電所構内 20 ミリレム/時検出
4月2日	格納容器内水素再結合作業始まる					3/31 ニューコータ川(230 km)で放射能レベル上昇
	圧力容器内気泡は消失	70	138			4/3 格納容器内 3 万レントゲン/ミルクから 131 I 検出
4月3日	炉心小爆発、メルトダクションの危険性、1.1回路と発表					4/18 補助建屋より I のもれ続く
9日	炉心取扱い許可解除					
14日	冷却停止作業進行中					
20日	一次冷却水温度 100°C となる	123	94			
						冷却作業今後も繼續

幸運

1. 圧力差し弁が開き、はなしたいたこと。ECCSの早期作動を防いだ。
2. ECCS作動条件の設計が



となっていた。日本のすべてのPWR(WH社製)では、二つANDでおり、今回の事故が日本で起ればECCSは最後まで作動しない。

3. ECCSが作動して113モードでも、主循環ポンプが動く設計になっていた。よって1次系の強制循環が可能であったか、日本でこうなつたのは美浜1,2号炉だけ。

4. キャビテーションによるポンプ破壊の危険があつたにもかかわらず、Operatorは強引に回転しつづけたことにより、1次系の冷却が比較的よがつたこと。

5. 誤情報(中性子カウンタ)を誤って判断し、ボロン注入をつづけたことにより、実際に迫っていたと思われる再臨界の危機をさりぬけたこと。

7-3. TMI-2事故は想定不適当事故

理由

1. 2次系完全stopは想定不適当とされて113。実際この事故に対応する安全防護設備はない。TMI-2が大事に至るまでは8分後に2次系の循環復帰ができたから。

2. Zrの酸化は50%にも及ぶ、ECCSに要求されて113上限値をはるかに上まわっている。

3. 大量の水素の発生に対処できる方策があらかじめ全くない。

4. 希ガス総放出量 $4.5 \times 10^7 \text{ Ci}$ (当局発表 $1 \times 10^7 \text{ Ci}$)
(0.5 MeV換算 $\sim 6 \times 10^6 \text{ Ci}$)

よう素総放出量 $> 5 \times 10^3 \text{ Ci}$ (当局発表 14 Ci)
これらの値は日本の安全審査における仮想事故(大破断LOCA)の想定値(伊方炉の場合、TMI-2の約半分の出力)

希ガス	$1.645 \times 10^5 \text{ Ci}$	(0.5 MeV換算)
よう素	944 Ci	

をはるかに上まわっている。